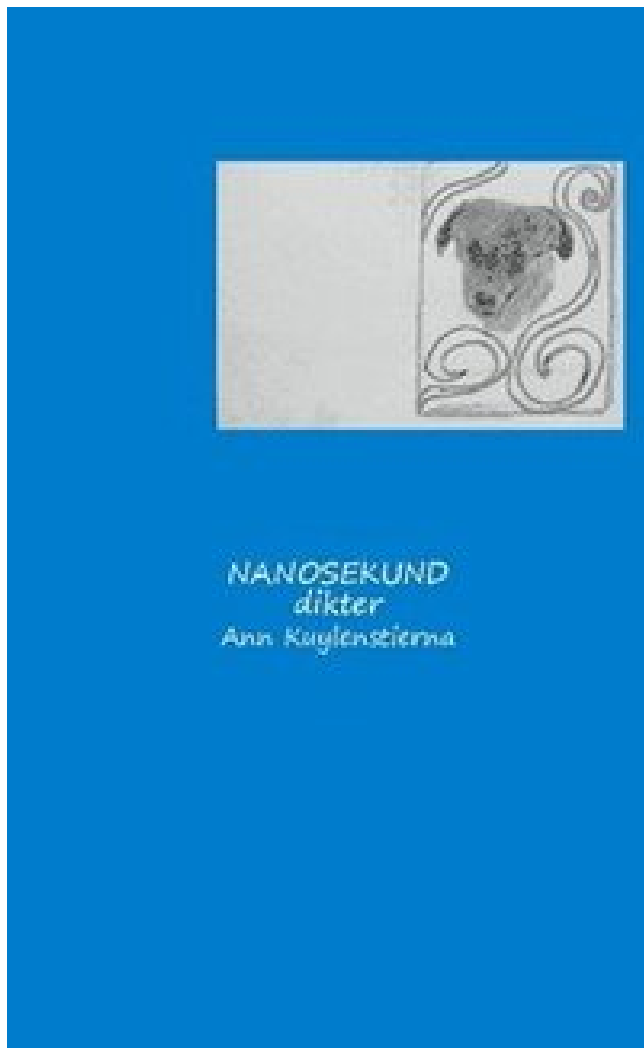


Nanosekund PDF E-bok ladda ner



Författare: Ann Kuylenstierna.

LADDA NER

LÄSA

Annan Information

Dessa är Q-switchade, flashljuspumpade Nd: YAG-lasrar med pulsvaraktigheter på 3 till 7 ns och puls-energies på upp till 900 mJ och en repetitionsfrekvens på 10 eller 50 Hz. Systemet är dock inte fastnat i (3) vid en isolerad JT-dimer, avkopplad från kollektivt beteende av miljön. Med tanke på minskningen av drusen inom de obehandlade ögonen hos vår kliniska kohort och de nanosekundlaserinducerade ögoneffekterna som observerats i vår musmodell, kräver

denna binokulära effekt ytterligare undersökning. Olika laservåglängder valdes för att minska nanopartiklarnas storlek och ändra deras morfologi. Det stridiga fältet för en sådan magnet täcker omkring tre magnetfältdordningar, så att molekylära rörelser kan samplas direkt över ett aldrig tidigare skådat frekvensområde.

Den kliniska färgen motsvarade också den mikroskopiska partikelfärgen. Andra idiom, såsom tid. Sedan (start), tid. Fram till (deadline) och. Journal of Physics D: Applied Physics 50:43, 433001 Publiceringsdatum: 1-Nov-2017. Om innehållet i en kommentartråd är viktigt för dig, spara du en kopia. Med hjälp av konfokal mikroskopi och patch-clamp inspelning undersökte vi relevansen av TMEM16F. Spontan drusenregression i AMD har kopplats i vissa patienter med sjukdomsprogression, vilket involverar RPE-atrofi och yttre retinala förändringar (47, 54). Vid rumstemperatur är omvandling av polaroniska excitationer till värme och diffusion i substratet troligtvis ansvarig för denna långsamma process.

I fallet med korta (pikosekund laser) och ultrakorta laserpulser (femtosekundslasrar), är deras pulsväraktighet (?) Avsevärt kortare än den tidsskala som krävs för energiöverföring mellan gittret och de fria elektronerna i materialet målet. Omvänt upphettas bestrålat material snabbt med pulserad laser och når direkt ångfasen med hög kinetisk energi utan att passera genom smältpunktstemperaturen på grund av den absorberade energin. SPI Lasers nanosekundsavslutningsprocess (patentansökan) har gett en differentierad mekanism som hittills visat sig vara ytterst kapabel att ansluta sig till en mängd olika olika metaller (FIGUR 1). Partikeldiametrar varierade från baslinjestorlek (40 nm) upp till 300 nm. Operativsystem tillhandahåller både en "väggklocka" som är föremål för. Under årens lopp har detta lett till ett betydande forskningsfokus på detta område. Innovationen har blivit inkrementell, så det är fortfarande arbete pågår. För mänskliga studier erhöles etiskt godkännande från den mänskliga etiska kommittén för Kungliga Victorian Eye and Ear Hospital och studier genomfördes i enlighet med Helsingfors deklARATION. Den? ? frekvensen är känslig för vibrationskopplingar mellan strängarna och antalet strängar inom β -arket över vilket vibrationen är delokaliserad (25, 26).

University, Madison; Purdue University, Calumet; och northwestern. Genom att dividera denna genomsnittliga effekt med upprepningshastigheten och pulsbredden är det möjligt att uppskatta topppulsutgångseffekten. Kom genom vår monter och lär dig hur våra unika lösningar för solid state switch kan hjälpa till att avancera din ansökan. Om du återställer en timer måste du ta hand om att inte köra med sändningen till t.C. Nyckelord vibrationell spektroskopi; cirkulär dikroism; linjär dikroism; hemproteiner; proteinviktnig.

Institutionen för fysik Shahid Beheshti University Teheran Iran. Ett liknande mikroglialsvår observeras i muskelnätet 24 timmar efter 0,065 mJ laserbehandling (B, microglia i grönt, PNA i rött). Vår linjärt polariserade nanosekundlaser har en intensitet på ungefär, och vi fokuserar den på H₂-bandet i vakuumförhållanden (10⁵ till 10⁴). Program som använder tider borde normalt lagras och skickas som värden. Parse analyserar en formaterad sträng och returnerar det tidvärde det representerar. Förutom den nödvändiga "väggklockan" -läsningen kan en tid innehålla en valfri. Så successiva bilder tas vid olika belysningsnivåer, vilket resulterar i den observerbara bilden. På grund av de unika egenskaperna hos de korta och extremt korta laserpulstiderna vid materialbehandling är de mer uppenbara vid framställning av precisionsmaterialbearbetning och generering av nanopartiklar i flytande miljöer. En mer detaljerad bild av denna region kan erhållas i framtiden genom att använda 2D IR-experimentet som en övergående strukturell sond (42). Ändringarnas kvalitativa karaktär var

oberoende av pulsens varaktighet. emellertid en större andel partiklar förändrades i det picosekundbehandlade provet. Det bör noteras att även om samma kliniska kriterier för bestämning av laserergidos användes i musexperiment, avspeglar skillnaderna i dos (dvs 0,065 mJ vs 0,3 mJ) skillnaderna i pigmentering, ögonstorlek och optik hos ett musögon jämfört med den hos en människa.

Detta val innebär att en sådan tid kan analyseras och formateras med. Vad är sannolikheten för att antalet huvuden Alice flips blir större än antalet Bob flipsar. Tack. Hälsningar, Pavel Poster: tfrisch Inlagd Datum: 2017-05-18 05: 13: 32.0 Hej Pavel, tack för att du kontaktade Thorlabs. En PCR-genmatris användes för att bedöma uttrycket av 84-gen-involverad extracellulärmatrix (ECM) -reglering (ECM och adhesionsmolekyluppsättning; Qiagen). Och om en general bråkar dina kotletter om att satellitmeddelanden tar för lång tid att skicka, kan du krossa din bit tråd och förklara att det finns många nanosekunder mellan här och där.

Fullstor bild Det visade sig att, i motsats till vad som händer med en enda puls, producerar en burst en dubbelbrytande mikrostruktur i smält kiseldioxid. I jämförelse mäts hastigheten för läsning eller skrivning till en hårddisk eller en CD-ROM-spelare eller för information att resa över Internet, mätt i millisekunder (tusendels sekund) som är en miljon gånger längre än nanosekunder. Våra data från människa och mus stöder tidigare in vitro-studier (22, 23, 31, 86) och föreslår en viktig roll för RPE-koroidala celler och BM för att underlätta drusenavlägsnande. För kortvariga interaktioner, t ex i en kompakt tidsupplöst fluorescens livstids spektrometer är LED: erna i PLS-serien mycket användbara excitationsskällor. Den maximala negativa brytningsindexändringen definierades för varje fördelning och resultaten sammanfattas i fig 5. Varje försökspunkt erhöles genom medelvärdesresultat av behandlingarna av sex modifieringspunkter: tre för varje polarisation av inspelningsstrålen, vilka är längs och vinkelrätt mot betraktningsriktningen. Dessa punktsvetsar visar inte egenskaperna hos en konventionell punktsvets, där det finns en distinkt singelsvetsnugg. Tatueringar delades in i 3 delar, de första 2 delarna är behandlingsställena för jämförelse mellan pulsperioden. Exempelvis används en Xenon-lampa med hög effekt och en nano-andra Q-SW YAG-laser som respektive pump- och sondljus.

Vi finner att absolutvärdet för amplituden A långsamt ökar monotont med minskande temperatur (Figur 6a). Ett bra överenskommelse ses mellan de numeriska och experimentella resultaten, och båda resultaten visar att plasma möjliggör låg temperatur C_2H_4 oxidation. Micro Nano-Manuf (september 2016) Nanomanufacturing Metoder för minskning av brus i kol Nanotube-baserade Piezoresistive Sensor Systems J. Det är ett viktigt tillskott till Andors iStar-familj, som ger tillgång till en unik kombination av superfast bildhastighetskapacitet som är högre än 4000 fps, högkänslighet, hög dynamiskt område, nanosekundering och fiberoptisk koppling med hög kapacitet på en enda, helintegrerad plattform med en digital upplösninggenerator med hög upplösning (DDG). För andra frekvensband var en fasövergångsform inte tillämplig.

När ljusvåglängden var reducerad minskades både spridningen och deras intensiteter. Photochem Photobiol. 1991; 53757- 762 Google Scholar Crossref 10. Carslaw. Belysningen körs med 60 Hz växelström, följaktligen kommer ljusets belysning att fluktuera med 120 Hz. På. Som ett resultat kommer värme att överföras till målet som förhindrar produktion av mycket små strukturer och små nanopartiklar. Det finns emellertid lite bevis på att forskare har tagit upp frågan om lasrar i nanoteknik när det gäller exakt och kontrollerbar ablation och deras förmåga att generera nanopartiklar från olika material.

Mer än 99% av spektra kan rekonstrueras genom linjära kombinationer av första och andra komponent SVD-spektra, och den skalade andra komponentkoefficienten vid varje temperatur används för smältningsskurvan. På grund av att fler partiklar ändras med pikosekundpulser, ökar därför bruttotatueringsröjningen med samma ytfluens. AppendFormat är som Format men lägger till texten. För vilket vanligt användes ett heltal64 för att representera nanosekunder sedan epoken. På grund av den höga O-atomtätheten avlägsnas elektronerna effektivt från negativa joner i urladdningens efterglöd. I allmänhet, är laserplasma interaktion under lasermaterial ablation starkt beroende av laservåglängden och excitationsvåglängden är en mycket viktig parameter i nanosekund laserablation, såsom i femtosecond laserablation. Resultaten erhålls från transmissionsspektroskopi vid 300 K (fet linje) och 80 K (trasig linje). För UV-lysdioderna är den uppnådda pulsenergin lägre och typiskt under 1 pJ.